

放電パラメータ測定 (41)

- N₂ + He 混合ガスの電子輸送係数測定 -

長谷川 博一* 伊達広行** 下妻光夫***

Measurement of Gas Discharge Parameter (41)
- Measurement of electron transport coefficients in mixtures of nitrogen and helium -

Hirokazu HASEGAWA, Hiroyuki DATE and Mitsuo SHIMOZUMA

要旨

2重シャッター・ドリフトチューブ実験装置を使用してN₂+He混合ガスの電子到着時間分布をHeの混合率kをパラメータにして換算電界E/N=100, 150, 200 [Td]の範囲で測定し、N₂+He混合ガスの電子移動速度W_mや縦方向拡散係数D_L等の電子輸送係数を算出した。その結果、W_m, D_Lともkの増加にともない下に凸の相乗効果を示した。

Abstract

The distribution of arrival time spectra (ATS) of electrons in mixtures of nitrogen and helium has been measured over the range of E/N from 100 to 200[Td] by using a double-shutter drift tube. The drift velocity of electrons (W_m) and the longitudinal diffusion coefficient (D_L) were evaluated from the ATS method and a Gaussian distribution. The values of W_m and D_L are smaller than the values predicted by a linear combination of them of the pure gases based on partial pressure of helium in the mixture, k, in the range of these E/N.

1. 緒言

筆者らは、これまでに2重シャッター・ドリフトチューブ実験装置を使用して、CO₂ガスレーザの気体材料の主成分であるCO₂, N₂の単ガスやN₂+CO₂混合ガスの電子移動速度W_mや縦方向拡散係数D_L等の電子輸送係数を測定し、報告^{1,2}してきた。特にN₂+CO₂混合ガスのW_mやD_L等の電子輸送係数が低E/N(E:電界, N:気体分子数密度)領域で上に凸の相乗効果を確認した。

本報告は、さらにCO₂ガスレーザの高出力化に重要な役割を果たすバッファガスとして使用されているN₂+He混合ガスのW_mやD_L等の電子輸送係数をHeの混合率kをパラメータにして換算電界E/N=100, 150, 200 [Td]の範囲で測定し検討したのでここに報告する。

2. 実験方法

実験方法および解析方法については、文献^{1), 2)}に詳しく述べてあり、ここでは省略する。実験中の設定圧力は、E/N = 100 [Td] で気圧 p = 1.0 [Torr] (pは0 [℃] に換算してある), E/N = 150, 200 [Td] で気圧 p = 0.5 [Torr] 一定で行った。また、ドリフト距離Lは1~5 [cm] の範囲で数点変化させて電子到着時間分布を測定した。混合率kは、次式のように設定した。

$$k = \frac{\text{Heの分圧} p_{\text{He}}}{\text{N}_2\text{の分圧} p_{\text{N}_2} + \text{Heの分圧} p_{\text{He}}} \times 100 [\%]$$

なお、使用した試料ガスの純度は、N₂ガスが99.9998 [%] up, Heガスが99.9999 [%] upである。

3. 実験結果および考察

図1にE/N = 200 [Td] で k = 40 [%] (N₂ : He = 3 : 2), L = 2~3.5 [cm] の電子到着時間分布の測定結果(スライン補間等の平滑

* 助教授 電気工学科
** 助手 北海道大学医療技術短大部
*** 教授 北海道大学医療技術短大部

化処理済み)を示す。図1からLが増加するにしたがってデルタ関数的にチャンバに注入された電子の拡散による電子到着時間分布のピーク値や分布幅の増加が認められる。また、電離作用によると考えられる測定電流のピーク値の増加も認められる。図1のように2重シャッター・ドリフトチューブ実験装置により測定された電子到着時間分布からATS解析³⁾を適用してW_mおよびGauss分布解析によりD_Lを電算機を使用して算出した。

図2, 図3にそれぞれHe単ガスのE/N = 100, 150, 200 [Td]で(200TdのみHe99 [%])のW_mおよび縦方向拡散係数と電子移動度の比D_L/μ(ほぼ電子の平均エネルギーと見なす)の測定結果を示す。比較検討のため主だった他の測定値もプロットしてある。図2より、E/N = 100 [Td]のとき Dall'Armi et al (1992)⁴⁾の値とはよく一致しており、Amies et al (1985)⁵⁾の値は、本測定値より数[%]低いようである。Anderson (1964)⁶⁾の測定値を含めKucukarpaci et al (1981)⁷⁾以外の測定値はE/N = 100 [Td]以下であるが本測定値の延長上あると考えられる。またKucukarpaci et alはE/N = 100 [Td]以上で

本測定値より十[%]程度大きくなっている。これらの結果より、Heの本測定結果は妥当なものと考えられる。図3よりD_L/μの本測定値は、Kucukarpaci et alの値に比べ低くなってしまおりE/N = 100 [Td]で70[%]程度小さな値となる。しかし、E/N = 200 [Td]ではその差は10[%]程度に縮まっている。

図4にE/N = 100, 150, 200 [Td]でk = 0~100[%]におけるN₂+He混合ガスのW_Lの測定結果を示す。E/N = 100, 150, 200 [Td]とともにkの増加にともないW_Lは、N₂単ガスから増加し、単調な直線増加に比べ下に凸の傾向を示し増加してHe単ガスに到っている。例えば、E/N = 150Td (k = 80[%])でW_Lの値は、単純増加のそれに比べて22[%]程度減少しており、混合ガスにおける下に凸の相乗効果が認められる。

図5にE/N = 100, 150, 200 [Td]におけるN₂+He混合ガスのD_L/μの測定結果を示す。E/Nの値に関わらずD_L/μの値は、W_mと同様にN₂単ガスから下に凸の傾向を示し増加してHe単ガスに到っている。特にE/N = 100 [Td]では、

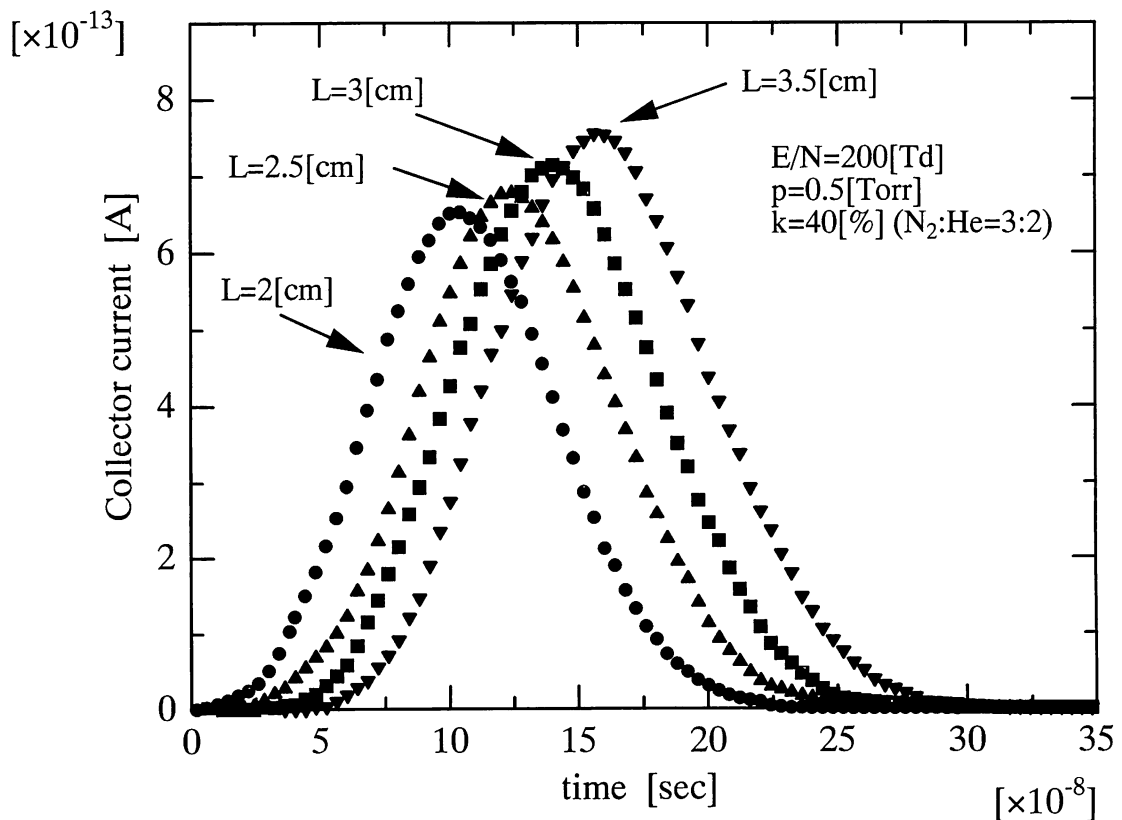


図1 N₂+He混合ガスの電子到着時間分布

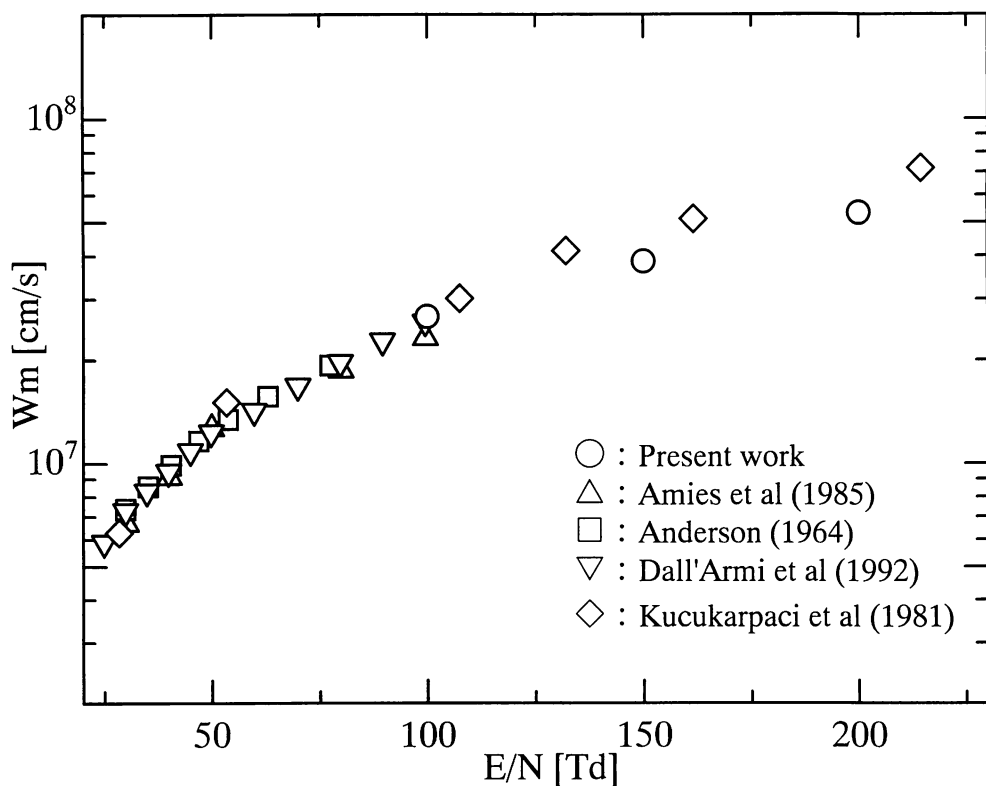


図 2 He の電子移動速度

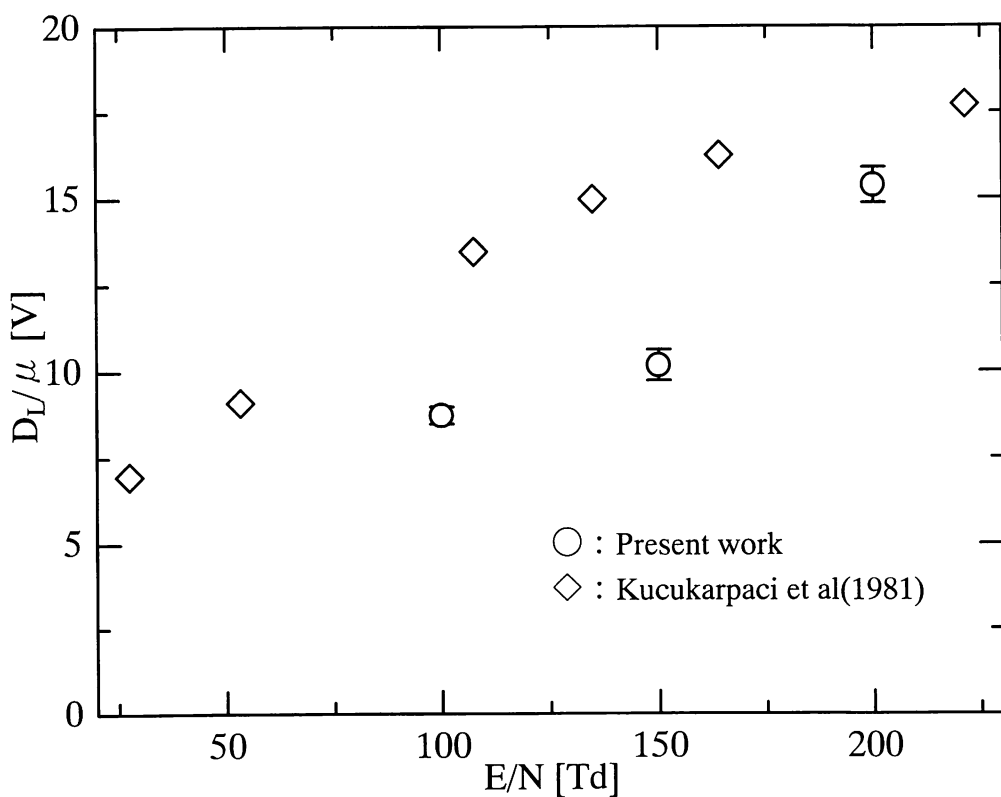


図 3 He の縦方向拡散係数と電子移動度の比

顕著に下に凸の傾向を示している。

この下に凸の傾向の原因は、混合率に対する各々のガスの各種衝突断面積の割合とそのときの電子エネルギー分布の関係により起こるものと推察されるが詳しく検討するためには Boltzmann 方程式解析等の数値解析による検証が必要と考えられる。N₂+He混合ガスのW_mやD_L/μの本測定結果は、筆者らがすでに報告したN₂+He混合ガスの電離係数の測定結果⁴⁾における相乗効果をサポートするものと考えられる。

4. 結 言

2重シャッター・ドリフトチューブ実験装置を使用して、CO₂ガスレーザの高出力化に重要な役割を果たすバッファガスとして使用されているN₂+He混合ガスのW_mやD_L/μをHeのkを

パラメータにして換算電界E/N=100,150,200[Td]の範囲で測定し検討した。その結果W_m, D_L/μともに下に凸の相乗効果が認められた。N₂+He混合ガスのW_mやD_L/μなどの電子輸送係数の報告も今回初めて行なったと考えられ、本測定結果は、CO₂ガスレーザの設計開発に有意義なデータを提供できたものと思われる。また、従来2重シャッター・ドリフトチューブ実験装置を使用した高E/N領域での測定が困難であったHe単ガスの電子輸送係数の測定においてもN₂などによる混合ガス化により、今後はより高E/N領域でのHe単ガスの電子輸送係数測定が行なうことが可能になったと考えられる。最後に、本報告にご指導ご助言いただきました室蘭工業大学田頭博昭学長に深く謝意を表すとともに測定にご協力いただきました第29期生奥井君に感謝いたします。

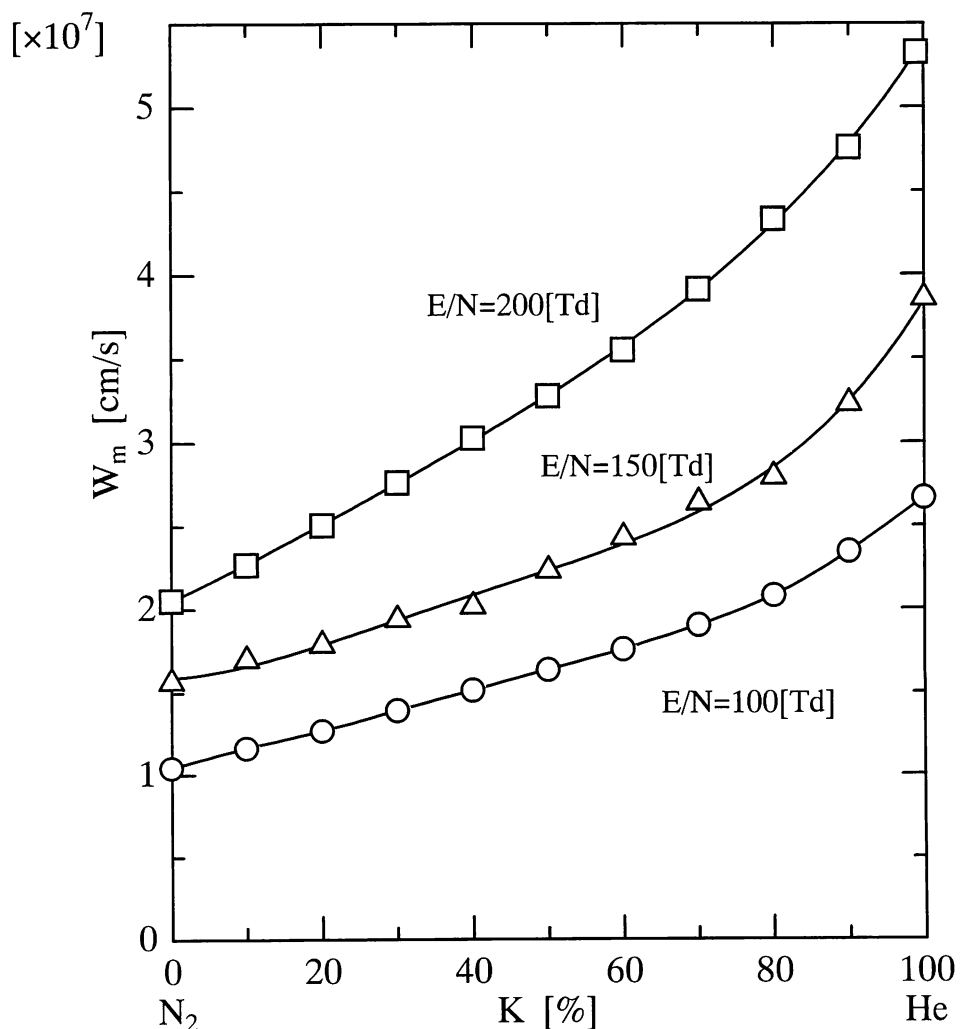
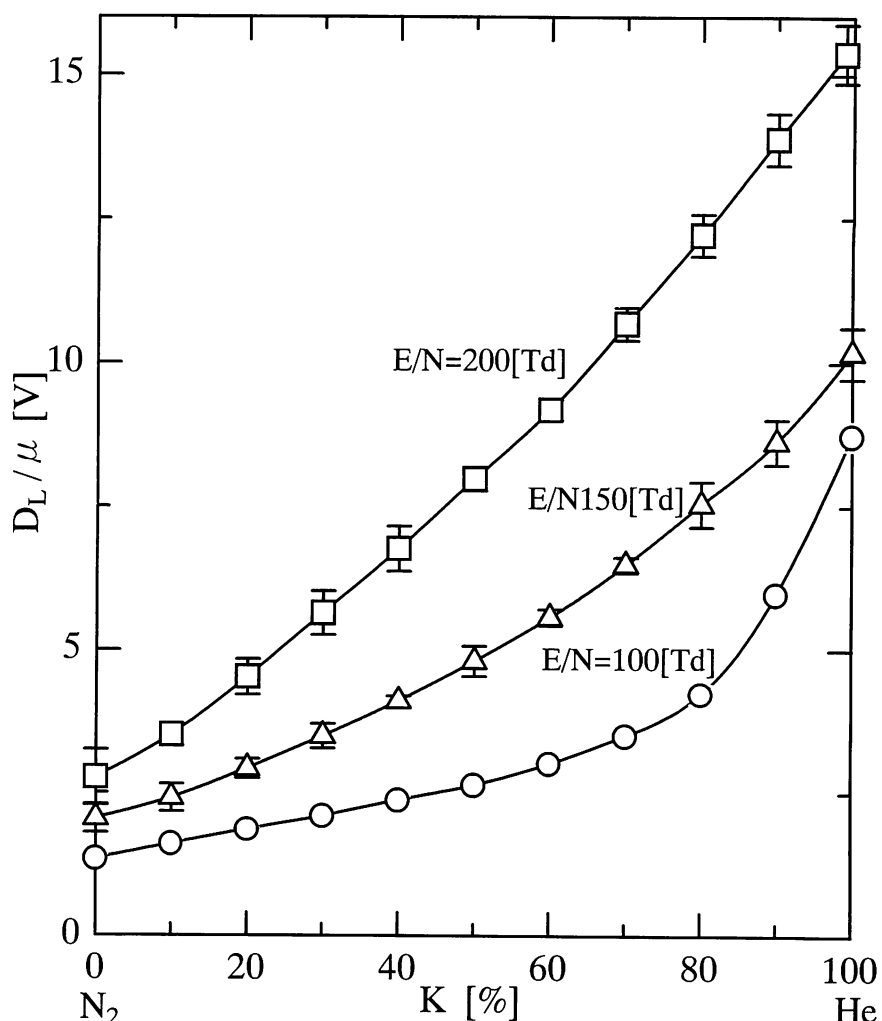


図4 N₂+He混合ガスの電子移動速度

図5 $N_2 + He$ 混合ガスの縦方向拡散係数

参考文献

- 1) Hasegawa et al, J. Phys. D: Appl. Phys., 29, 2664–2667, 1996
- 2) Hasegawa et al, J. Phys. D: Appl. Phys., 31, 737–741, 1998
- 3) 伊達他, 電気学会論文誌, Vol.113-A, No12, 826–834, 1993
- 4) Dall'Armi et al, Aust. J. Phys., 45, 185–191, 1992
- 5) Amies et al, J. Phys. D: Appl. Phys., 18, 2023, 1985
- 6) Anderson, Phys. Fluids, 7, 1517–1526, 1964
- 7) Kucukarpaci et al, J. Phys. D: Appl. Phys., 14, 9–25, 1981
- 8) Hasegawa et al, J. Phys. D: Appl. Phys., 18, 1361–1370, 1985

(平成10年11月30日受理)

